

**O ZWIĄZKACH MIEDZYZ WŁASNOŚCIAMI ZBIORNIKOWYMI
I USZCZELNIAJĄCYMI SKAŁ A ICH PARAMETRAMI GEOFIZYCZNYMI**

UKD 556.332.4:550.832.5+550.832.7

Profilowanie natężenia promieniowania gamma wzbudzonego neutronami (PNG) dostarcza informacji o zawartości (koncentracji) w skale atomów lekkich i atomów o dużym przekroju czynnym na reakcje typu ($n \rightarrow \gamma$). Z uwagi na przewagę występowania w przyrodzie atomów wodoru — długości drogi dyfuzji, spowolnienia i czasu życia neutronów zależą przedmiotem naszych badań od wilgotności skał (3).

Ze względu na logarytmiczny typ tej zależności (9, 10) przyjęto do rozważań funkcję typu*:

$$dIn = A + B \lg \Phi \quad (1)$$

gdzie: $0 \leq dIn \leq 1$ i $0,04 \leq \Phi \leq 1$

Porowatość Φ związana jest z parametrami elektrometrii zależnością:

$$F = \frac{a}{\Phi^m} \quad (2)$$

Parametr nasycenia Q zdefiniowany jest wzorem:

$$Q = \frac{R}{Rpw} \quad (3)$$

Ponieważ właściwości elektryczne skał zależą od charakteru ich nasycenia, w poniższych rozważaniach wzięto pod uwagę zależność:

$$Q = \frac{k}{Sw^n} \quad (4)$$

gdzie: $0 \leq Sw \leq 1$

Parametr porowatości F zdefiniowany jest wzorem:

$$F = \frac{Rpw}{Rw} \quad (5)$$

Oporność wody złożowej Rw , wchodząca do zależności (5), jest zmienną funkcji:

$$EPS = -Kps \cdot \lg \frac{Rf}{Rw} \quad (6)$$

Wykorzystując wzory [2] — [5] otrzymamy:

$$\lg \Phi = \frac{1}{m} (\lg k \cdot a + \lg Rw - \lg R - n \lg Sw) \quad (7)$$

uwzględniając zaś [6]:

$$\lg \Phi = \frac{1}{m} \left(\lg k \cdot a + \lg Rf + \frac{EPS}{Kps} - \lg R - n \lg Sw \right) \quad (7)$$

Korzystając z powyższych zależności związek [1] można w prosty sposób przekształcić do postaci:

* Oznaczenia wg J. Frydeckiego (8).

$$dIn = A + \frac{B}{m} \times$$

$$\times \left(\lg k \cdot a + \lg Rf + \frac{EPS}{Kps} - \lg R - n \cdot \lg Sw \right) \quad (8)$$

Oznaczając:

$$A + \frac{B}{m} \lg k \cdot a = \alpha \quad \frac{B}{m} = \beta$$

$$dIn = \alpha + \beta \left(\lg Rf + \frac{1}{Kps} \cdot EPS - \lg R - n \lg Sw \right) \quad (9)$$

i przyjmując uproszczone założenia graniczne (9): $\Phi = 0,025$; $w = 0,40$; $m = 2$; $k = 1$; $n = 2$; $Kps = 70$; otrzymano:

$$dIn = -0,33 - 0,44 \lg Rf - 0,0063 EPS + \\ + 0,44 \lg R + 0,88 \lg Sw \quad (10)$$

Zależność [9] przedstawia ogólny, a [10] szczegółowy związek różnicowego względnego natężenia promieniowania gamma wzbudzonego neutronami dIn w funkcji nasycenia skały wodą Sw oraz innych parametrów geofizycznych: Rf — oporność właściwej filtratu płuczki w temperaturze poziomu, R — oporność właściwej skały w temperaturze poziomu, wartości statycznej amplitudy PS — EPS. Zależność [10] dotyczy skał czystych, niezailonych, których porowatość $\Phi > 0,04$. Dla skał o $\Phi \leq 0,04$, zależność [1] nie sprawdza się, funkcja $dIn = f(\Phi)$ przybiera inną postać.

Drugi etap rozważań n.t. zależności wiążących parametry zbiornikowe z danymi geofizyki wierniejszej polega na uwzględnieniu wpływu zainiowania skał na wartość oporności właściwej skały R i różnicowe względnego natężenie promieniowania gamma wzbudzonego neutronami (9). Przyjmując model anizotropowego rozkładu materiału ilastego, można napisać wzór:

$$\frac{1}{R} = \frac{Ci}{Ri} + \frac{1 - Ci}{Rcz} \quad (11)$$

gdzie: Ri — oporność właściwa ilów w danym rejonie,

Rcz — oporność właściwa skały czystej, niezailonej.

Z: [2] — [7]:

$$Rcz = \frac{Rw \cdot a \cdot k}{\Phi^m \cdot Sw^n} \quad (12)$$

Podstawiając [12] do [11]:

$$\frac{1}{R} = \frac{Ci}{Ri} + \frac{(1 - Ci)\Phi^m \cdot Sw^n}{a \cdot k \cdot Rw} \quad (13)$$

Ponieważ zainiowanie wywiera największy wpływ na wyniki PG, przyjęto za B. J. Wendelsztem (19) potęgowy związek między zainiowaniem Ci , a względnym natężeniem różnicowym promieniowania gamma dIn :

$$dIg = c \cdot Ci^\alpha \quad (14)$$

Opierając się na rozważaniach zawartych w pracy J. Frydeckiego (9) wpływ Ci na $dIng$ zapisano jako:

$$dIng = A + B \lg(\Phi + w \cdot Ci) \quad (15)$$

Przekształcając [15] otrzymamy:

$$\Phi = 10^{\frac{dIng - A}{B}} - w \cdot Ci \quad (16)$$

Ponieważ:

$$A = \frac{\lg w}{\lg \frac{w}{\Phi_1}} \quad (17)$$

oraz

$$B = \frac{1}{\lg \frac{\Phi_1}{w}} \quad (18)$$

wzór [16'] przyjmuje postać:

$$\Phi = w \left[\left(\frac{\Phi_1}{w} \right)^{dIng} - Ci \right] \quad (16')$$

lub

$$\Phi + wCi = w \left(\frac{\Phi_1}{w} \right)^{dIng} \quad (19)$$

Podstawiając [16] do [13] otrzymamy:

$$\frac{1}{R} = \frac{Ci}{Ri} + \frac{(1 - Ci) w^m \left[\left(\frac{\Phi_1}{w} \right)^{dIng} - Ci \right]^m Sw^n}{a \cdot k \cdot Rw} \quad (20)$$

Przekształcając [20] mamy:

$$Sw^n = \frac{\frac{1}{R} - \frac{Ci}{Ri}}{1 - Ci} \frac{a \cdot k \cdot Rw}{\left[\left(\frac{\Phi_1}{w} \right)^{dIng} - Ci \right]^m \cdot w^m} \quad (21)$$

Logarytmując i przekształcając [21] otrzymamy:

$$\begin{aligned} n \lg Sw &= \lg a \cdot k + \lg Rf + \frac{EPScz}{Kps} - \lg \left[1 - \left(\frac{1}{c} dIg \right)^{\frac{1}{\alpha}} \right] - \\ &- m \lg w - m \lg \left[\left(\frac{\Phi_1}{w} \right)^{dIng} - \left(\frac{1}{c} dIg \right)^{\frac{1}{\alpha}} \right] + \\ &+ \lg \left[\frac{1}{R} - \frac{1}{Ri} \left(\frac{1}{c} dIg \right)^{\frac{1}{\alpha}} \right] \end{aligned} \quad (22)$$

Ponieważ na wartość EPS również wpływa założenie, przyjęto ten wpływ wg modelu:

$$EPScz = \frac{EPS}{(1 - Ci)^\lambda} \quad (23)$$

Uwzględniając [23] i oznaczając:

$$\begin{aligned} \lg a \cdot k - m \lg w &= \gamma \\ \left(\frac{1}{c} \right)^\delta &= \eta \quad \frac{\Phi_1}{w} = \varepsilon \end{aligned}$$

$$\frac{1}{\alpha} = \delta \quad \text{wzór [22] przyjmuje postać:}$$

$$\begin{aligned} n \lg Sw &= \gamma + \lg Rf + \frac{EPS}{Kps (1 - \eta dIg^\delta)^\lambda} - \\ &- \lg (1 - \eta dIg^\delta) - m \lg (e^{dIng} - \eta dIg^\delta) + \\ &+ \lg \left(\frac{1}{R} - \frac{\eta dIg^\delta}{Ri} \right) \end{aligned} \quad (24)$$

Ponieważ niekiedy znana jest wartość mineralizacji wody złożowej Cw , a zatem jej oporność właściwa Rw , lepiej jest wówczas wykorzystać wzór [24] uproszczony do postaci:

$$\begin{aligned} n \lg Sw &= \gamma + \lg Rw - \lg (1 - \eta dIg^\delta) - \\ &- m \lg (e^{dIng} - \eta dIg^\delta) + \lg \left(\frac{1}{R} - \frac{\eta dIg^\delta}{Ri} \right) \end{aligned} \quad (25)$$

Wzory [24] i [25] przedstawiają zależności między nasyceniem skały wodą Sw , mineralizacją tej wody Cw drogą pośrednią poprzez parametr Rw [25] lub EPS [24] z parametrami geofizycznymi R , $dIng$, dIg i Ri . Wykorzystanie wzoru [24] lub [25] wymaga określenia lub założenia dla danego poziomu litotratygraficznego w danym rejonie wartości stałych: n , γ , η , δ , m , ε , λ , Kps. Z uwagi na brak metodycznych opracowań określających powyższe stałe przygotowano uproszczony nomogram (ryc. 1) przy wykorzystaniu wzorów [2], [3], [4], [5], [14] — [18]. Założono tu następujące wartości niektórych stałych:

$\Phi_1 = 0,025$, $w = 0,40$, $c = 1$, $\alpha = 1$, $a = 1$, $k = 1$. Odpowiadają one przeciętnym wartościom spotykanym w literaturze.

Otrzymany nomogram zawiera następujące zmienne: $dIng$, dIg , Φ , m , F , R , Rw , n , Sw . Pozwala na określenie:

- 1) $\Phi = f(dIng, dIg)$,
- 2) $\Phi = f(F, m)$,
- 3) $Sw = f(dIg, dIng, F, R, Rw, m, n)$,
- 4) $m = f(F, dIng, dIg)$.

Przykład 1 (vide ryc. 1)

Dane: $dIng = 0,70$;
 $dIg = 0,10$

stąd: $\Phi = 3,7\%$

Przykład 2

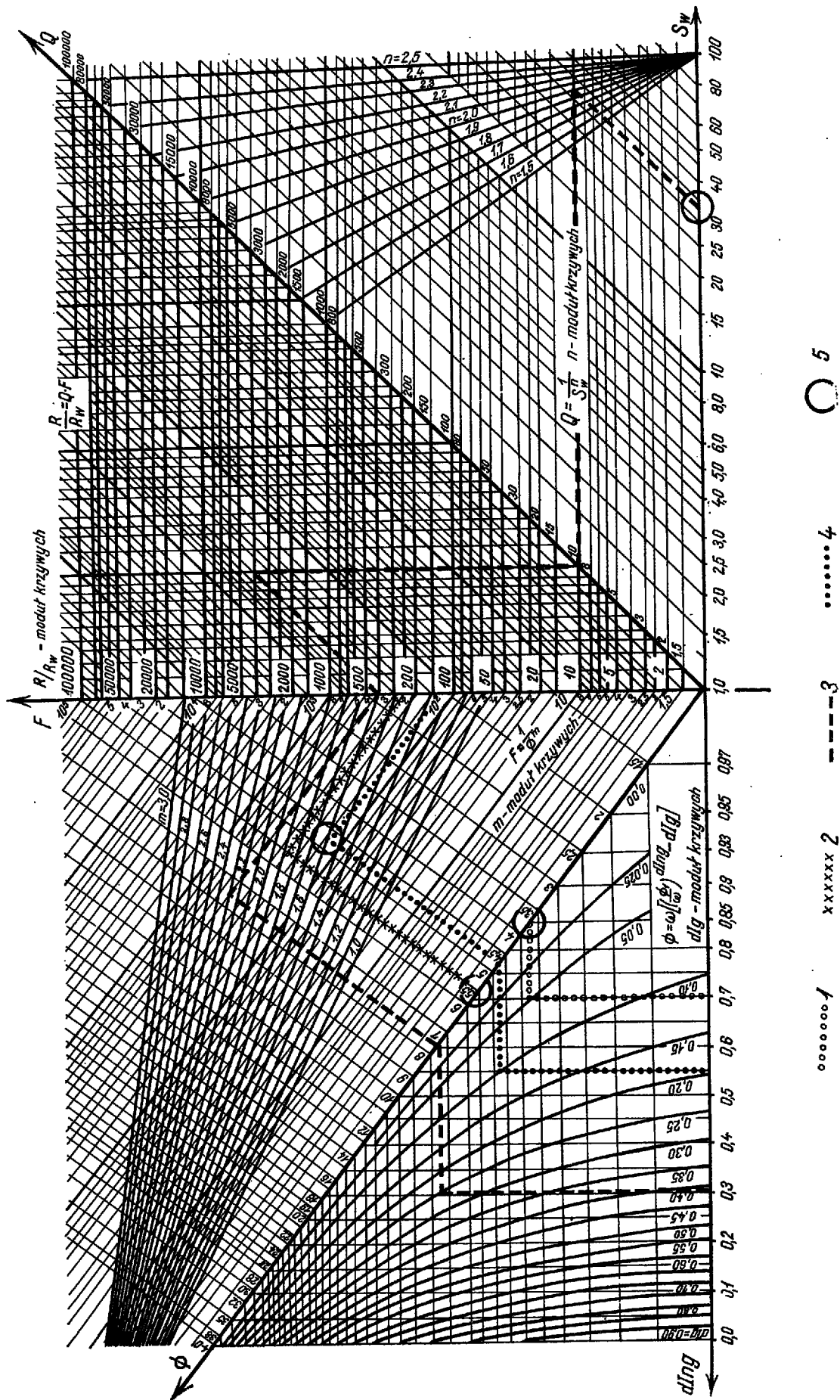
Dane: $F = 250$;
 $m = 1,9$;

stąd: $\Phi = 5,5\%$

Przykład 3

Dane:

$dIng = 0,3$;
 $dIg = 0,25$;
 $m = 2,3$;
 $R/Rw = 4000$;
 $n = 2$;



Zbiorczy nomogram dla interpretacji parametrów zbiornikowych skał na podstawie danych geofizycznych.

1 — przykład określania porowatości porowatości ϕ na podstawie danych: dIg , dIg , m , R/R_w , n — $S_w = f(dIg, m, R/R_w, n)$; 2 — przykład określania porowatości ϕ na podstawie danych F , m — $\phi = f(F, m)$; 3 — przykład określania nasycenia zbiornika wody S_w na podstawie danych: dIg , dIg , F ; 5 — ostateczny wynik interpretacji

stąd (kolejno):

$$\begin{aligned}\Phi &= 7,5\%; \\ F &= 400; \\ Q &= 10; \\ Sw &= 33\%\end{aligned}$$

Przykład 4

Dane: $dI_{Ng} = 0,55$;
 $dI_g = 0,10$;
 $F = 130$;

stąd (kolejno):

$$\begin{aligned}\Phi &= 4,8; \\ m &= 1,6.\end{aligned}$$

Na szczególną uwagę zasługuje przypadek 4. Otóż określenie wskaźnika zwiększości m wymaga zwykle korelacji danych laboratoryjnych (Φ) z danymi geofizycznymi (F). Przy wykorzystaniu przedstawionego nomogramu wystarczają same wyniki badań geofizycznych. Nie dyskutując porównania błędów dla badań laboratoryjnych i geofizycznych, metoda określenia m w oparciu o dane geofizyczne zawiera niezaprzecjalne zalety, jak: duża liczba wyników badań geofizycznych oraz fakt tego samego środowiska wykonywanych pomiarów, tych samych otworowych, *in situ*, warunków pomiarowych.

LITERATURA

1. Balowa Z., Plewa S. — Próba wyznaczania porowatości na podstawie profilowań neutron-gamma. Geofiz. poszuk. i kopaln. 1960, nr 6—7.
2. Balowa Z., Plewa S. — Wyznaczanie porowatości skał na podstawie metod radiometrii kopalnianej. Ibidem 1961, nr 2.
3. Barsukow O. A., Blinowa N. M., Wybornych S. F., i in. — Radioaktywne metody issledowania niefitowych i gazowych skważin. Gostoptechizdat, 1958.
4. Biedczier A. Z., Okuń M. I., Szczerbakowa E. Ł. — O swiązach parametra nasyczenia i koefcyjenta niefiegazonasyczności trzeczzinnich kollektorów. Niefiegazowa Gieologija i Gieofizika, 1968.

SUMMARY

By means of logging methods there are recorded changes of various physical parameters, the magnitude of which results e.g. from the reservoir properties of the rocks penetrated, particularly from porosity Φ , water saturation Sw , mineralization of this water Cw (i.e. its resistivity Rw), and clay content of rocks Ci .

The article synthetically present relations between reservoir properties of rocks and physical parameters obtained by means of the fundamental radiometry and electrometry methods. Based on the most frequently occurring values of coefficients included in general equations, a nomogram has been constructed which serves to interpret various parameters of reservoir rocks (also clayey rocks) according to the following relations:

- 1) $\Phi = f(dI_{Ng}, dI_g)$
- 2) $\Phi = f(F, m)$
- 3) $Sw = f(dI_{Ng}, dI_g, F, R, Rw, m, n)$
- 4) $m = f(F, dI_{Ng}, dI_g)$.

Of particular interest is here the case 4, which points to the possibility of determining the compactness coefficient m on the basis of radiometry and electrometry data, without using laboratory results.

5. Dachnow W. N. — Interpretacja rezultatów geofizycznych issledowanij raziezw skważin. Gostoptechizdat, 1962.
6. Desbran des R. — Théorie et Interprétation des diagraphe. Éditions Technic. Paris, 1968.
7. Filippow E. M. — Prikładnaja jadiernaja gieofizika. Moskwa, 1958.
8. Frydecki J. — Oznaczenia w geofizyce wiertniczej. Prz. geol. 16, 1968, nr 8.
9. Frydecki J. — Przyczynki metodyczne z zakresu geofizyki wiertniczej w aspekcie poszukiwań złóż bituminów. Prz. geol. 17, 1969, nr 4.
10. Frydecki J. — Wykorzystanie metody PNG do określenia porowatości wapieni jurajskich synklinorium warszawskiego. Geof. i Geol. naft. 1969, nr 10—11.
11. Hossin M. A. — Calcul des saturation en eau par la méthode du ciment argileux (formule d'Archie généralise). Bull. de L'association Française des Techniciens du Petrole, 1960.
12. Komarov S. G. i in. — Sprawocznik gieofizika. T. II, Gostoptechizdat, 1961.
13. Kurtiew T. I. — Kolichestwennaja interpretacija rezultatów radiometricheskich issledowanij gliniistych pieszczankow. Razvedocznaja Gieofizika, Nr 23, 1967.
14. Larionow W. W. — Jadiernaja gieologija i gieofizika. Gostoptechizdat, 1963.
15. Łatyszowa M. G. — Prakticzeskoje rukowodstwo po interpretaci diagramm gieofizycznych mietodow issledowania skważin. Moskwa 1966.
16. Pierkow N. A. — Interpretacija rezultatów karotaża skważin. Gostoptechizdat, 1963.
17. Pirson S. J. — Handbook of well log analysis for oil and gas formation evaluation. Prentice-Hall, Inc. Englewood Cliffs, New York, 1963.
18. Roman L. — Zagadnienie oporności względnej niektórych warstw. Prz. geol. 1961, nr 10.
19. Wendelsztein B. J. — Albow nomogramm i palotok dla interpretacji danych gieofizycznych mietodow issledowania skważin. Gostoptechizdat, 1963.
20. Wendelsztein B. J., Larionow W. W. — Ispolzowanie danych promyślowej gieofiziki pri podszezotie zapasów niefi i gaza. Moskwa, 1964.
21. Wesołowska-Bała M. — Określanie zailenia skał na podstawie metody profilowania gamma. Prz. geol. 1969, nr 10.

РЕЗЮМЕ

Методы каротажа позволяют определять колебания ряда физических параметров пород, обусловленные коллекторскими свойствами, в особенности пористостью Φ , водонасыщенностью Sw , степенью минерализации воды Sw (т.е. ее сопротивлением Rw), а также глинистостью пород Ci .

В статье дана общая характеристика связей между коллекторскими свойствами пород и их физическими параметрами, определенными с помощью основных методов каротажа — радиометрического и электрического. Принимая наиболее частые величины коэффициентов, используемых в общих уравнениях, составлена номограмма, предназначенная для интерпретации параметров коллекторских пород, в том числе и глинистых, на основании выражений:

- 1) $\Phi = f(dI_{Ng}, dI_g)$
- 2) $\Phi = f(F, m)$
- 3) $Sw = f(dI_{Ng}, dI_g, F, R, Rw, m, n)$
- 4) $m = f(F, dI_{Ng}, dI_g)$

Особого внимания требует выражение 4, показывающее возможность определения показателя плотности m по данным радиометрического и электрического каротажа без необходимости лабораторных испытаний.